

Li - C

4950

311

LiCl.3CH₃OH, LiBr.4CH₃OH (T_m)

Oosaka H., Sawaya T.

J. Chem. Soc. Japan, Pure. chem. sect.,
1950, 71, 159-60

Physicochemical studies on the ...

Be

LiCl: 4C₂H₅OH Bip-6513-X | 1962

Lödip B.X

(P, SHF, 45f) C. Z. Acad. Sci,
1962, 254, (22), 3870-72

BP-X-5513

1964.

$\text{LiBr} \cdot 2(\text{CH}_3)_3\text{COH} \cdot \text{H}_2\text{O}$ (kp. cusp.)

Haas D.J.,

Acta crystallogr., 1964, 17, 930

Mr



—

error q.k

34197 THE STANDARD HEATS OF FORMATION OF
LITHIUM OXALATE, BERYLLIUM SULFATE, BERYL-
LIUM SULFATE DIHYDRATE, AND BERYLLIUM SULFATE
TETRAHYDRATE. Letson, Billy Ben. Thesis, Tuscaloosa,
Ala., Univ. of Alabama, 1964. 77p.

1964

The design and construction of a glass-Dewar-type solution calorimeter are described. Thermistors in two opposite arms of a resistance bridge were employed to determine temperature changes. Solution calorimetry was used for determination of the standard heats of formation of lithium oxalate, beryllium sulfate, beryllium sulfate dihydrate, and beryllium sulfate tetrahydrate. The heat of formation of $\text{Li}_2\text{C}_2\text{O}_4$ was calculated by combining the heats of solution in dilute HCl of LiCl , $\text{H}_2\text{C}_2\text{O}_4$ with values from the literature for the heat of solution of hydrogen chloride and the heats of formation of LiCl , $\text{H}_2\text{C}_2\text{O}_4$, and hydrogen chloride. With diamond as the standard state of carbon the heat of formation of $\text{Li}_2\text{C}_2\text{O}_4$ is $-328,300 \pm 580$ cal/mole, and with graphite as the standard state of carbon the value is $-327,400 \pm 580$ cal/mole. The heat of formation of BeSO_4 was calculated by combining the heats of solution of Be metal and BeSO_4 in aqueous H_2SO_4 with data from the literature for the heat of formation of sulfuric acid. The heat of formation of BeSO_4 is $-287,560 \pm 120$.

+1

NSA-1965

19-18

17

cal/mole. The heat of formation of $\text{BeSO}_4 \cdot 2\text{H}_2\text{O}$ was calculated from the heats of solution in sulfuric acid of BeSO_4 , H_2O , and $\text{BeSO}_4 \cdot 2\text{H}_2\text{O}$ and the heats of formation of BeSO_4 and water. The heat of formation of $\text{BeSO}_4 \cdot 2\text{H}_2\text{O}$ is $-435,260 \pm 130$ cal/mole. The heat of formation of $\text{BeSO}_4 \cdot 4\text{H}_2\text{O}$ was calculated from the heats of solution in sulfuric acid of BeSO_4 , H_2O , and $\text{BeSO}_4 \cdot 2\text{H}_2\text{O}$ and the heats of formation of BeSO_4 and water. The heat of formation of $\text{BeSO}_4 \cdot 4\text{H}_2\text{O}$ is $-578,800 \pm 130$ cal/mole. (Dissertation Abstr.)

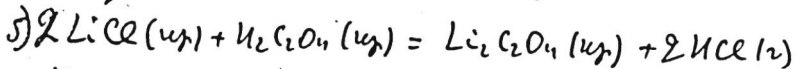


$\text{Li}_2\text{C}_2\text{O}_4$ auf $\text{Li}_2\text{C}_2\text{O}_4$ [Office 2716 | 1365
 Letson B. B., Taylor A.R. [Comments 2958]

Bureau of Mines, USA, Rept. Yuleff-
 fation 6583, 1965
 Использовано 5 шт.

- 1) $\text{LiCl}(s) + (19,84 \text{HCl} \cdot 550,7 \text{H}_2\text{O}) = \text{LiCl}(19,84 \text{HCl} \cdot 550,7 \text{H}_2\text{O})$
 -7776 ± 4
- 2) $\text{Li}_2\text{C}_2\text{O}_4(s) + 2[\text{LiCl}(19,84 \text{HCl} \cdot 550,7 \text{H}_2\text{O})] = \text{Li}_2\text{C}_2\text{O}_4[41,68 \text{HCl} \cdot 1101,4 \text{H}_2\text{O}]$
 $+2,570 \pm 17$
- 3) $\text{Li}_2\text{C}_2\text{O}_4(s) + 41,68 \text{HCl} \cdot 1101,4 \text{H}_2\text{O} = \text{Li}_2\text{C}_2\text{O}_4[41,68 \text{HCl} \cdot 1101,4 \text{H}_2\text{O}]$
 $+486 \pm 7$
- 4) $\text{HCl}(s) + 19,84 \text{HCl} \cdot 550,7 \text{H}_2\text{O} = 20,84 \text{HCl} \cdot 550,7 \text{H}_2\text{O} - 16877 \pm 100$

$$\text{Ovogre } \Delta H_f = 2\Delta H_1 + \Delta H_2 - \Delta H_3 - 2\Delta H_4 = 20278 \pm 14$$



Используя ΔH_f° LiCl = $-38,380 \pm 0,540$; $\text{HCl}(\text{g}) =$

$\approx -22,061 \pm 0,030$; $\text{H}_2\text{C}_2\text{O}_4(\text{up}) = -186,600 \pm 0,730$,

получим $\Delta H_f^\circ \text{Li}_2\text{C}_2\text{O}_4(\text{up}) = -329,020 \pm 0,780$,
(ошибка не учтена из-за отсутствия)

1965 Letson B.B., Diss. Absts, 1965, 25, N7, 3861

Gangapūrnic Penniym отрасль

• $\leftarrow \text{Li}_2\text{C}_2\text{O}_4$ ($-328,300 \pm 580$ ккал/моль);
 BeSO_4 ($-287,560 \pm 120$); $\text{BeSO}_4 \cdot 2\text{H}_2\text{O}$
($435,260 \pm 130$); $\text{BeSO}_4 \cdot 4\text{H}_2\text{O}$ ($-578,800 \pm 130$)

+1



$\text{Li}_2\text{C}_2\text{O}_4$

Letson B.B.
Taylor A.R.

7/965

ΔH_f

U.S. Bur. Mines, Rept. Invest.

N6583, 12 pp.

Heats of formation of lithium chloride and lithium oxalate, including details on the construction and operation of a solution calorimeter. (au. Lille)

1966

Li-C-coeg
(Li-ankunq)

Douslin D.R.

U.S. Govt. Res. De-
velop. Rep., 1966, 41,
n16, 34.

(Cer. B-C-N-H coeg) I

X-6146 ~~A-0770~~

1966

LiI, RbCl, CsCl, NaI, LiClO₄,
LiCO₂CF₃, NaCO₂CF₃, KCO₂CF₃,
RbCO₂CF₃, (stagger)

Wu Yung-Chi, Friedman H.L.,

J. Phys. Chem., 1966, 70, 501-509

Prax, 1966, 205351 B



Bonnet P. Barriol Y.
chim. phys. et phys. chim. biol.
Y. Chim. Phys., 1967,
64 (6), 1050-52.

Équilibre de solvatation de libré
dans l'ether par voie dielectrique.

Belyaeva

CH_3OH (p) $\text{H}_2\text{OCH}_3\text{OH}$ -f. 01/1969

Brodský M., Heavay J. ~~EX-SCC~~
Línek J.

Collect Czechosl. Chem. Commun.,
1969, 34, No. 3428-3435 (errata)

Liquid-vapour equilibria in systems
of electrolytic components. I. The system
 $\text{CH}_3\text{OH}-\text{K}_2\text{SO}_4$ at 60°C

Pittman, 1970
1151241

59

$(COOH)_2$; $Zn_2C_2O_4$; $Na_2C_2O_4$, $K_2C_2O_4$, $K_2C_2O_4 \cdot H_2O$ (ΔH_f) 1970

Brown N. H., Taylor A. R. Jr. E6815

U. S. Clearinghouse Fed. Sci. Tech. Inform., PB Rep., 1970, N: 196604, 17pp.

Heats of solution and formation
of oxalic acid and some
alkali metal \circlearrowleft oxalates. (same)

10 B, M ⑨ CA, 1971, 75, N2D, 122933a

$\text{Li}_2\text{C}_2\text{O}_4$

of Polyoxotungstate

1970

Brown B.M.H., et al.

s Hf Report of Investigations
7450.

$\text{Li}_2\text{C}_2\text{O}_4$

Brown, Mary H.;
et al.

1970

(dHf)

"U.S. Clearinghouse Fed. Sci.
Tech. Inform., P.B. Rep. 1970.

From U.S. Govt. Res. Develop.
Rep., 1971, #1, N5, 60.



(cu. $(\text{COOH})_2$; I)

Di-C-coeq. Bernard N.A., et al. 1970

NH₂CH₂COO₂H

s-Haq;

DHF.

Bull. Soc. chim.

France, 1970, n° 7,

2475, IX.

(C≡C-N-H)≡

LiCH₃COO · 2H₂O

1970

7 Д440. Интерпретация ИК-спектров и спектров комбинационного рассеяния ($400\text{--}3600\text{ см}^{-1}$) монокристалла дигидрата ацетата лития в поляризованном излучении.
Cadène Michel. Interprétation des spectres infrarouge et Raman polarisés ($400\text{--}3600\text{ cm}^{-1}$) du monocristal d'acéate de lithium dihydraté. «С. г. Acad. sci.», 1970, 270, № 2, B166—B169 (франц.)

*кришталь
стек-ра*

С целью установления кристаллической структуры дигидрата ацетата лития (I) исследованы ИК-спектры и спектры комб. рас. монокристалла I в поляризованном излучении. На основании анализа спектров сделан вывод, что кристалл I принадлежит к пространственной группе $C_{mmm}(D_{2h}^{19})$, а не к группе C_{mm2} . Приведены таблицы частот и дано отнесение полос к типам симмет-

оф. 1970. 40

рии и характеристич. колебаниям связей и групп. Спектральные данные подтверждают следующее расположение ионов в I: ацетат-ионы лежат в плоскости YOZ с связью $C-C$, параллельной OY ; ионы Li расположены на оси OZ . В кристалле I существуют молекулы воды двух типов: (H_2O) , связанные водородной связью с ацетатными ионами, и (H_2O) , связанные водородной связью с двумя молекулами (H_2O) первого типа. Библ. 7.

Э. В. Б.

График со шкалой (мерсог. сб-82) 1971
неподвижн. 108.

A-1940

Ковенков Д.Н., Волонин Н.Е.; Li

Усп. земл., 1971, №10, №9, 1568-92 (указ.)

Сносками (искусственными) 8
созданные гравиметры со 8
изменяемой неподвижн.

М.Б

(ав. оригинал; СА, 1972, №6, №2, 67517м)

Li, Cs // Br, CO₃ X-9593 1974
(разн. дистр.)

Дюзенов Т.Т., Рузанисева Е.Н.,
Кашинченко Т.И.

Некоторое всп. химии
расщавленной соли и продук-
тов ее интенсивного сопротивления.
1974, 11-19.

Система Li, Cs // Br, CO₃.

C.A. 1975. 83 n26. 209907j б pp.

8756-X

1974

Li-C (сог.)

(ΔHf)

5 Б874. Термохимия алкиллитиевых реагентов.
 Holm Torkil. The thermochemistry of alkyllithium reagents. «J. Organometal. Chem.», 1974, 77, № 1, 27—30 (англ.)

С помощью проточного калориметра измерена энталпия взаимодействия алкиллитиевых соединений RLi с HBr (газ), протекающего по схеме RLi (тв. или жидк.) + HBr (газ.) = RH (жидк.) + $LiBr$ (тв.). Алкиллитиевые соединения брались в виде р-ра или суспензии в диэтиловом или петролейном эфире; энталпии р-рения (диспергирования) исходных в-в и продуктов р-ции принимались равными друг другу. С использованием лит. данных рассчитаны станд. энталпии образования RLi при 298 К, равные -17,9; -13,2; -13,8; -26,1; -21,0; -22,0; -1,4; 4,2; 1,4; 12,3 и 1,8 ккал/моль для $R-CH_3$ (I); C_2H_5 (II); $(CH_3)_2CH$ (III); C_4H_9 (IV); втор- C_4H_9 (V); трет- C_4H_9 (VI); C_3H_5 (VII); $C_6H_5CH_2$ (VIII); п- $CH_3C_6H_4$; C_6H_5 (IX) и п- ClC_6H_4 соотв. Рассчитаны энергии связей $R-Li$ в алкиллитиевых соединениях, составившие 61,4; 47,5; 43,0; 48,2; 39,6; 35,5; 46,1; 43,3 и 62,9 ккал/моль соотв. для I—IX.

П. М. Чукров

26.1975
N5

$\text{LiCl}\cdot\text{L}$; $\text{LiBr}\cdot\text{L}$; $\text{LiSCN}\cdot\text{L}$; $\text{LiSCN}\cdot\text{2L}$; $\text{LiClO}_4\cdot\text{L}$ | 1974
 $\text{LiClO}_4\cdot\text{4L}$; $\text{LiNO}_3\cdot\text{L}$; $\text{LiBF}_4\cdot\text{L}$; $\text{LiC}_2\text{H}_3\text{O}_2\cdot\text{0.2L}$; $\text{NaJ}\cdot\text{L}$.

$\text{NaSCN}\cdot\text{L}$; $\text{NaSCN}\cdot\text{2L}$; $\text{NaClO}_4\cdot\text{L}$, ($\text{L} = [\text{Me}_3\text{N}]_3\text{PO}$) (Tm)

J. Inorg. and Nucl. Chem., 1974, 36, N_Z, 1459-1466 (with)
Duehrs D. C., Kohut J. P. X 8554

Hexamethylphosphoramide solvates
of alkali metal salts

PHH X-59, 1974

23 B59

□

Есть оригинал.

5 (P) 9

CF₃SO₃Li (κ pacīb. b. гибели сульфате) 197

Bennion D.N., Tiedemann W.H.
 $\Sigma 6616$

J. Chem. Eng. Data, 1971, 16, N₃,
368-70 ('анн.)'

Density, viscosity, and conductivity of lithium trifluoromethane sulfonate solutions in dimethylsulfoxide

3. 6

CA, 1971, 75, N₁₀, 674042

$\text{NaSO}_3 \cdot \text{H}_2\text{O}$; $\text{K}_2\text{SO}_3 \cdot \text{H}_2\text{O}$

1972

$\text{NaSO}_3 \cdot \text{H}_2\text{O}$; $\text{KSO}_3\text{CH}_2\text{SO}_3\text{K}$; $\text{KSO}_3(\text{CH}_2)_2\text{SO}_3\text{K}$;

$\text{NaSO}_3\text{CH}_2\text{SO}_3\text{Na}$; $\text{NaSO}_3(\text{CH}_2)_2\text{SO}_3\text{Na}$; $\text{LiSO}_3\text{CH}_2\text{SO}_3\text{Li}$;

$\text{LiSO}_3(\text{CH}_2)_2\text{SO}_3\text{Li}$; (T_{22}, T_m)

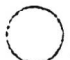
X 7124

Charbonnier F.

Ann. chim. (France), 1971(1972), 6, N6, 805-811 (Франц.)

Исследование рекомбинантных конформаций -
гидрофобных кислот с использованием
методов.

Ригулин, 1972



18B10

Б. Ⓢ

MESO₃Na·H₂O; MESO₃K·H₂O

1972

MESO₃K·H₂O; KSO₃CH₂SO₃K; KSO₃(CH₂)₂SO₃K;

MESO₃CH₂SO₃Na; NaSO₃(CH₂)₂SO₃Na; disoSO₃CH₂SO₃Li;

disoSO₃(CH₂)₂SO₃Li; (Tz, Tm)

X 7124

Charbonnier F.

J. Min. chim. (France), 1971(1972), 6, N6, 405-411 (Франц.)

Листья сандала кремофорные состоят из кремофоро- и
дисофоровых кристаллов со взаимодействием между
ними.

Ригулев, 1972



18B10

5 Ⓡ

505I9.704I

БиР - 9049 - X

3 1974

х $\text{CH}_3\text{COO}_2\text{Li} \cdot \text{CH}_3\text{COOC}_8(\text{Th})$

X-9049

Сердючева И.Ф., Кащеев З.Н., Диогенов Г.Г.
(прод.)

В сб. "Некоторые вопр. химии расплавлен.
солей и продуктов деструкции спропели-
тов". Иркутск, 1974, 3-10

5 (8)
0362 пик

336 343

8.5 4

реф

ВИНИТИ

22 Б919. Твердофазные переходы в щелочных алка-
ноатах: дифрактометрическое и кондуктометрическое
исследование пропионатов лития, натрия и калия.
Cingolani A., Spinolo G., Sanesi M. Solid
state transitions in alkali alkanoates: diffractometric and
conductometric measurements on lithium, sodium, and
potassium propanoates. «Z. Naturforsch.», 1979, A34,
№ 5, 575—578 (англ.)

Фазовые превращения пропионатов Li (I), Na (II)
и K (III) исследованы методами измерения электропроводности ρ , рентгенофазового анализа и ДТА. Установлены т-ры превращения в тв. состоянии для I 553 ± 2 К, для II $470,2 \pm 0,6$ К и 494 ± 1 К, для III 258 ± 2 К и $352,5 \pm 0,6$ К. Из измерений ρ вычислена энергия активации проводимости для I $E = 149 \pm 8$ кдж/моль (530—580 К) и $E = 61 \pm 8$ кдж/моль (480—530 К), для II $E = 118 \pm 10$ кдж/моль (494—540 К) и $E = 123 \pm 8$ кдж/моль (470—494 К). Близость E для низко- и высокот-рной модификации II находится в согласии с близостью параметров крист. решетки этих фаз. Структурные исследования щел. солей карбоновых кислот связаны с выяснением возможности конфигурац. изменений в области, близкой к т. пл. этих солей.

Л. А. Резницкий

(+) 42

о 1979 г. 22

2 Б1080. Нестабильные галоидлитийорганические соединения. Сообщ. 7. Термодинамические расчеты механизма распада галоидлитийорганических соединений. Фаустов В. И., Дьяченко А. И., Нефедов О. М. «Изв. АН СССР. Сер. хим.», 1979, № 10, 2183—2186.

Квантовохимическими методами МЧПДП/3 и МЧПДП/2 рассчитаны энергии разрыва связей $C-X$ ($X=F, Cl$) в радикалах CH_2X° , CHX_2^\cdot , CX_3^\cdot и $o-C_6H_5X^\circ$. Значения, рассчитанные обоими методами, хорошо согласуются между собой и с имеющимися экспериментальными. Найдено, что прочность связи (ПС) $C-X$ резко уменьшается (на 10—15 ккал/моль) с введением в галоидметильный радикал каждого дополнительного атома X. Полученные значения использованы для оценки энергии карбенного и аринного распада галоидлитийметанов и о-галоидлитибензолов соотв. На основе данных проведенных ранее неэмпирич. расчетов методом ССП МО ЛКАО дестабилизация связи $C-Li$ в $LiCH_2F$ одним атомом F оценена в 4 ккал/моль.

Л.В. Ильин
Фаустов
Э.И. Фаустова
С.В. Григорьев
И.А. Дьяченко
А.И. Нефедов

Х1080.№2

67

Полученные энергии мономолек. распада подтверждают возможность этого процесса в условиях эксперимента для всех соединений, исключая моногалоидлитийметаны, распад к-рых по мономолек. механизму в условиях эксперимента невозможен.

Автореферат

1980

Li-C-S
(состав)

16 B10. Удобный метод получения безводных дитио-карбоксилатов лития, калия, рубидия и цезия. Като Shinzi, Yamada Shunji, Goto Hideyuki, Terashima Kiyomitsu, Mizuta Masateru, Katada Tomonori. A convenient preparation method of anhydrous lithium, potassium, rubidium and cesium dithiocarboxylates. «Z. Naturforsch», 1980, B35, № 4, 458—462 (англ.)

T_m, T_{tz}

(3) ④

X 1980. 16

Взаимодействием RCS_2H с LiH или BuLi в р-рителях получены с выходом 85—95% RCS_2Li , где $\text{R}=\text{Me}$ (Ia), Et (Ib), Pr (Ib), изо-Pr (Ig), цикло- C_6H_{11} (Id), Ph (Ie), 4-Me C_6H_4 (Iж), 4-MeOC C_6H_4 (Iз), 4-ClC C_6H_4 (Iи). Ia, Ib, Ig, Ie, Iж получены р-циями с LiH , Iв—Iи — р-циями с BuLi ; при взаимодействии RCS_2H с Li выход RCS_2Li низкий. Р-рителями служат пентан, гексан, Et_2O , C_6H_6 , Thf и их смеси; предпочтительна смесь гексана с Et_2O 1 : 1. Р-циями RCS_2H с KH в р-рителях получены с выходом 88—94% RCS_2K , где $\text{R}=\text{Me}$ (IIa), Et (IIб), Pr (IIв), изо-Pr (IIг), цикло- C_6H_{11} (IIд), Ph (IIе), 4-Me C_6H_4 (IIж), 4-MeOC C_6H_4 (IIз), 4-ClC C_6H_4 (IIи); р-ции RCS_2H с K дают RCS_2K с низким выходом. Р-циями RCS_2H с RbOAc или CsOAc в р-рителях синтезированы RCS_2Rb с выходом 68—90% или RCS_2Cs с выходом 73—93%. Для RCS_2Rb $\text{R}=\text{Me}$ (IIIa), Et (IIIб), Pr (IIIв), Ph (IIIг), 4-Me C_6H_4 (IIIд), 4-MeOC C_6H_4 (IIIе), 4-ClC C_6H_4 (IIIж), 1-C₁₀H₇ (IIIз); для RCS_2Cs $\text{R}=\text{Me}$ (IVa), Et (IVб), Pr (IVв), изо-Pr (IVг), Ph (IVд), 4-Me C_6H_4 (IVе), 4-MeOC C_6H_4 (IVж), 4-ClC C_6H_4 (IVз) и 1-C₁₀H₇ (IVи). Все синтезы выполнены в атмосфере Ar. RCS_2K , RCS_2Rb и RCS_2Cs плавятся с разл. (изменение цвета образцов от темно-красного или темно-оранжевого до красного), т. пл. IIa—III 143—7, 120—31, 70—85, 46—61, 200—13, 180—90, 175—85, 181—7, 161—7; IIIa—IIIз 125—34, 170—80, 65—80, 157—63, 185—89, 172—7, 180—90, 190—5; Ia—IVи 105—8, 120—30, 55—67, 135—42, 85—95, 202—6, 197—202, 195—200, 197—204°, соотв. В тв. виде синтезированные соединения устойчивы и не претерпевают изменений в течение 6 мес. при комн. т-ре. Ia—Iи весьма гигроскопичны и быстро расплываются на воздухе, соли Rb и Cs очень мало гигроскопичны. Соединения р-римы в протонных р-рителях и почти нер-римы в апротонных неполярных р-рителях, соли Li, Rb и Cs умеренно р-римы в Et_2O и Thf . Получены ИК-спектры, спектры в УФ и видимой областях и спектры ПМР Ia—Iи, IIa—IIIи, IIIa—IIIз, IVa—IVи. Антисимм. вал. кол. CS_2^- на-

блюдаются в области 900—1050 см⁻¹, причем поглощении всех солей с алифатич. остатком R расположены в более низкочастотной области по сравнению с поглощениями солей, в к-рых R — ароматич. остаток. Электронные спектры соединений имеют по 2 или 3 максимума в области 250—500 нм (переход $\pi \rightarrow \pi^*$ ниже 350 нм и $n \rightarrow \pi^*$ выше 350 нм). Дитиокарбоксилаты Na синтезированы ранее («Z. Naturforsch.», 1978, B33, 976).

И. В. Никитин

(а
ко

1981

LiBr - CH₃OH (gas. group.)

Renz M., Steinle F.,

Int. J. Refrig. 1981, 4(2), 97-101.

Thermodynamic properties of
the binary system, methanol -
lithium bromide

C.A. 1981, 94, N20, 163480M 5④

$\text{Li}^+ \text{CO}^+$

1982

97: 188519f Calculation of molecules using floating spherical Gaussian functions. II. Lithium ion complexes of hydrogen, carbon monoxide, nitrogen, oxygen, and water. Borisov, Yu. A.; Musaev, D. G. (Inst. Elementoorg. Soedin., Moscow, USSR). *Zh. Strukt. Khim.* 1982, 23(4), 20-4 (Russ). The mol. structure of Li^+ complexes with H_2 , N_2 , O_2 , CO , and H_2O were calcd. by using FSGO basis sets. For LiH_2^+ , LiN_2^+ , and LiO_2^+ , both linear and triangular configurations were examd., the triangular being more stable. For LiCO^+ , the linear configuration with Li-O bond is more favorable than that with Li-C bond. In LiH_2O^+ , Li^+ is bonded to O and the complex has C_s symmetry. The results are compared with those obtained by different calen. methods. By considering the increase in bond length of the mol. during complex formation as a degree of activation, the order of increase of degree of activation is $\text{H}_2\text{O} < \text{H}_2 < \text{N}_2 < \text{CO} < \text{O}_2$.

neopen
pracem
cmprvrmys

(1)

LiH_2O^+

C.A. 1982, 97, N22

LiBr - CH₃OH

1982

96: 206369t Excess enthalpies and solvation behavior of the lithium bromide/methanol, zinc bromide/methanol, and lithium bromide/zinc bromide/methanol systems. Christahl, M.; Thoennissen, J. (Rheinisch-Westfael. Tech. Hochsch., Aachen, Fed. Rep. Ger.). *Z. Naturforsch.*, A 1982, 37A(3), 224-31 (Ger). For the binary systems LiBr/MeOH and ZnBr₂/MeOH as well as for the ternary system LiBr/ZnBr₂/MeOH, the integral heats of mixing are exptl. detd. The mixing of LiBr and MeOH is more exothermic than for ZnBr₂. The excess enthalpy is the largest for the ternary system. From the math. approxn. of exptl. data the differential heats of soln. and of diln. are obtained. In dil. solns., the salts are surrounded by a strongly coordinated inner solvation sphere (coordination no. $N = 4$) and a less coordinated outer solvation sphere ($N = 6$) resulting in a total solvation no. of $N = 10$.

Dmix H,



ZnBr₂ - CH₃OH

C.A. 1982, 96, N24.

$C_2H_5OH - LiI$

1982

/98: 133172c Ethanol-lithium iodide absorption refrigerating machine - measurements of physical and thermal properties. Iyoki, Shigeki; Koshiyama, Hideki; Uemura, Tadashi (Fac. Eng., Kansai Univ., Suita, Japan 564). *Reito* 1982, 57(662), 1183-9 (Japan). To examine the performance characteristics of the absorption refrigerating machine using EtOH as refrigerant and LiI as absorbent, the phys. (vapor pressure and solv.) and the thermal (sp. heat and integral heat of mixing) properties were measured at various temps. and concns. The vapor pressures of the EtOH-LiI solns. were measured at 303.46-45.53 K and 5.32-49.30 wt.%. The sp. heats were measured at 288.15-338.15 K and 8.12-55.72 wt.%. The enthalpy-concn. chart was constructed. K. Yamaguchi

P, ρ_i

C. A. 1983, 98, N 16.

LiBr - CH₃OH

1982

97: 28896y Vapor pressure measurements and derivation of a vapor pressure equation for the binary system lithium bromide-methanol with a wide range of validity. Knoche, K. F.; Giazitzoglou, Z.; Belherazem, A. (Rhein.-Westfael. Tech. Hochsch., D-5100 Aachen, Fed. Rep. Ger.). *Waerme- Stoffuebertrag.* 1982, 16(2), 79-82 (Ger). The vapor pressure was detd. for the LiBr-MeOH system at $\leq 220^\circ$ for LiBr concns. 0-55 wt.% under pressures ≤ 35 bar. The data were fitted to the Antoine vapor-pressure equation.

(P)

c. A. 1982, 97, NY

CH₂FLi

1983

5 Д65. Теоретическое изучение молекулы CH₂FLi. Структура и энергии стабильных конфигураций и промежуточных состояний. Theoretical study of the carbeneoid CH₂FLi: Structures and energies of the stable configurations and transition states. Luke Brian T., Popple John A., Schleyer Paul von Ragué, Clark Timothy. «Chem. Phys. Lett.», 1983, 102, № 2—3, 148—154 (англ.)

Исследован вопрос о возможности существования молекулы CH₂FLi в возбужденных состояниях 2 и 3. С учетом электронных корреляций рассчитаны поверхности потенциальной энергии синглетных состояний. Обнаружены локальные минимумы у этих поверхностей, отвечающие состояниям 2 и 3 и находящиеся соответственно на 23,6 и 21,5 ккал/моль выше основного состояния 1. Энергетич. барьеры для конверсий 2→1 и 3→1 составляют, всего 1,5 и 5,7 ккал/моль, так что эксперим.

обр. 1984, 18, № 5.

обнаружение молекулы в состояниях 2 и 3 крайне затруднительно. Основное состояние CH_2FLi является устойчивым. Для распада на CH_2 и LiF требуется 49,3 ккал/моль. В то же время реакция $2\text{CH}_2\text{FLi}(\text{I}) \rightarrow \text{C}_2\text{H}_2 + 2\text{LiF}$ идет с выделением энергии (98,0 ккал/моль).

Е. Андреев

1983

Литийорганические соединения

получение,
химия и
структур

Х. 1985, 19,
N 7.

7 В1 Д. Получение, химия и структура иенасыщенных литийорганических соединений. Zu Synthese, Chemie und Struktur ungesättigter Lithiumorganischer Verbindungen. Neugebauer Wolfgang. Diss. Doktorgrad. Naturwiss. Fak. Friedrich-Alexander-Univ. Erlangen-Nürnberg, 1983. IV, 1176 S., ill. (нем.)

Синтезированы и изучены ЯМР ^{13}C -спектроскопически аллиллитий-[1-D] и аллениллитий. Проведено литирование 2,2,8,8-тетраметил-3,6-нонадиена, получены моно- и дилитиевое соединения, изучены их св-ва. Выполнено РСТА 5,5-дилитио-2,2,8,8-тетраметил-3,6-нонадиинмоноэфирата, 2,2'-бис[(тетраметилэтилендиамин)литий]дифенила, 3,6-ди(литио-Thf)2,2,7,7-тетраметил-3,4,5-октатриена. Осуществлено региоспецифич. дилитирование дифенила. Выполнено полилитирование нафталина (I) (путем взаимодействия I или 1-литионафталина с n-BuLi), антрацена (II) (путем взаимодействия II или 9-литиоантрацена с n-BuLi), индена, флуорена и 1-метилнафталина. Изучено присоединение лития к 2,2,7,7-тетраметил-3,5-октадиену (L) и 3,6-бис(trimетилсилил)-2,2,7,7-тетраметил-3,4,5-октатриену, восстановительное силилирование L.

Л. П. Шкловер

CF_2ClCOOK
 CF_2BrCOOK

Lm. 17050

1983

Tissot P., Waedler J.P.,

mesurer.
CB - 62

Thermochim. acta, 1983,
66, N1-3, 315-321.

LiCl₂ [Om. 19737] 1984

Li₂Cl₂

Li₂Cl₄ u.g.

Jordan K.D.,

enrysypa,

Li, neop.

paezem

J. Phys. Chem., 1984,
88, N 12, 2459-2465.

$\text{Li}^+/\text{CO}_3^{2-}$

1984

100: 127556z Calculation of phase diagrams and thermodynamic properties of 14 additive and reciprocal ternary systems containing lithium carbonate, sodium carbonate, potassium carbonate, lithium sulfate, sodium sulfate, potassium sulfate, lithium hydroxide, sodium hydroxide, and potassium hydroxide. Pelton, A. D.; Bale, C. W.; Lin, P. L. (Ec. Polytech., Montreal, PQ Can. H3C 3A7). *Can. J. Chem.* 1984, 62(3), 457-74 (Eng). Phase diagrams and thermodn. properties of 5 additive molten salt ternary systems and 9 reciprocal molten salt ternary systems contg. the ions Li^+ , Na^+ , $\text{K}^+/\text{CO}_3^{2-}$, SO_4^{2-} , OH^- were calcd. from the thermodn. properties of their binary subsystems which were obtained previously by a crit. assessment of the thermodn. data and the phase diagrams in these binary systems. Thermodn. properties of ternary liq. phases were estd. from the binary properties by the conformal ionic soln. theory. The ternary phase diagrams were then calcd. from these thermodn. properties by computer programs designed for the purpose. A ternary phase diagram generally can be calcd. in this way with a max. error about twice that of the max. error in the binary phase diagrams upon which the calcns. are based. If, in addn., some reliable ternary phase diagram measurements are available, these can

⑧ (78)

c. A. 1984, 100, N 16

be used to obtain small ternary correction terms. In this way, ternary phase diagram measurements can be smoothed and the isotherms drawn in a thermodynamically correct way. The thermodn. approach permits exptl. data to be assessed critically in the light of thermodn. principles and accepted soln. models. A crit. assessment of error limits on all the calcd. ternary diagrams is made, and suggestions as to which compn. regions merit further exptl. study are given.

Okcajamo Li

1985

Masuda Y., Miyamoto H.
et al.

ΔH_f° ; J. Chem. Thermodyn.
1985, 17, N2, 153 - 164

(see Okcajamo R6; I)

LiCF₃SO₃

1992

7 Б2091. Определение *ab initio* структуры LiCF_3SO_3 по порошковым рентгенографическим данным с помощью максимизации энтропии и оценки вероятности. *Ab initio* structure determination of LiCF_3SO_3 from X-ray powder diffraction data using entropy maximization and likelihood ranking /Tremayne M., Lightfoot P., Mehta M. A., Bruce P. G., Harris K. D. M., Shanki K., Gilmore C. J., Bricogne G. //J. Solid State Chem. .—1992 .—100 ,№ 1 .—С. 191—196 .—Англ.

Проведены синтез и полное определение структуры $^7\text{LiCF}_3\text{SO}_3$ (I) по порошковым рентгенографич. данным ($\lambda\text{CuK}\alpha_1$, $7,5—80^\circ 2\Theta$, 3624 точки, 309 рефлексов, R_{wp} 7,6%) и уточнение МНК по комбинир. массиву рентгенографич. и нейtronографич. (время-пролетный метод, диапазон $0,65—3 \text{ \AA}$, 2842 точки, 2014 рефлексов, R_{wp} 7,1%) данных. Расшифровка проводилась прямыми методами с помощью максимизации энтропии и оценки вероятности, дающими возможность правильно разделять интенсивности перекрывающихся рефлексов в соответствии со структурой. Параметры монокл. решетки I: $a = 10,2432$, $b = 5,0591$, $c = 9,5592 \text{ \AA}$, $\beta = 90,319^\circ$, ф. гр. $P2_1/c$. Расстояния S—O 1,420—1,443, S—C 1,877, C—F 1,251—1,354 \AA . Атом Li находится в тетраэдре (Li—O 1,82—2,02 \AA). Л. А. Бутман.

Структура

X/994, № 7

1996

LiOCP
LiSCP

meopen
racem
enantiomeric

124: 186124a Structures of Alkali Metal Pseudohalides: LiOCP, NaOCP, LiSCP, NaSCP. Veszpremi, Tamas; Pasinszki, Tibor; Feher, Miklos (Department of Inorganic Chemistry, Technical University of Budapest, H-1521 Budapest, Hung.). *Inorg. Chem.* 1996, 35(7), 2132-5 (Eng). The equil. geometries of LiOCP, NaOCP, LiSCP, and NaSCP were calcd. at the MP2 and QCISD/6-311G* levels of theory. All four have π -type cyclic conformers. In case of the former two, this form is the most stable isomer, whereas in LiSCP and NaSCP, no other conformations but the cyclic exist. Vibrational frequencies and ionization energies were calcd. to facilitate vapor phase identification. Semiempirical quantum chem. and mol. mechanics simulations were also undertaken to study their behavior in solns.; they are expected to dissociate, and the resulting pseudohalide anions are linear. Thus, the existence of the π -complex cannot be demonstrated in soln.

(+1) B

NaOCP, NaSCP

C. A. 1996, 124, N 14

LiPc
LiPcI

1998

(g)

130: 147645a Magnetic susceptibility, heat capacity, and optical conductivity of LiPc and LiPcI. Dumm, M.; Dressel, M.; Nicklas, M.; Lunkenheimer, P.; Loidl, A.; Weiden, M.; Steglich, F.; Assmann, B.; Homborg, H.; Fulde, P. (Institut für Physik, Elektronische Korrelationen und Magnetismus, Experimentalphysik V, Universität Augsburg, 86135 Augsburg, Germany). *Eur. Phys. J. B* 1998, 6(3), 317–322 (Eng). Springer-Verlag. The magnetic susceptibility, using d.c. and ESR methods, the sp. heat, and the IR properties of the 1-dimensional mol. semiconductors lithium phthalocyanine (LiPc) and the iodinated compd. LiPcI were studied for temps. $1.5 \text{ K} \leq T \leq 300 \text{ K}$. LiPc has a half-filled conduction band and is expected to be an org. metal. However, due to the strong Coulomb repulsion the system is a 1-dimensional Mott-Hubbard insulator with a Hubbard gap of 0.75 eV as inferred

C.A. 1999, 130, N11

from optical measurements. The localized electrons along the mol. stacks behave like a $S = 1/2$ antiferromagnetic spin chain. The spin susceptibility, as detd. by ESR expts., and the magnetic contribution to the heat capacity show a Bonner-Fisher type of behavior with an exchange const. $J = 40$ K. LiPcI is an intrinsic narrow-gap semiconductor with an optical gap of 0.43 eV. In ESR expts. it is silent, indicating that all the unpaired electrons were removed from the macrocycle via doping with iodine.

Li-CO

OM 41650

2005

Vladimír Lukeš et al.,

ab initio
pacem

Collect. Czech. Chem.
Commun., 2003, 68, N1,
35...

Ab initio study ● is the Li-CO

Van der Waals complex.

